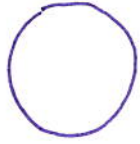


Knotentheorie

4. 9. 2013

Stefan Knoblauch (1)

1. Knoten
2. Äquivalenz von Knoten
3. Fundamentalgruppe



Unknoten



Kleeblattknoten

Beispiele

1. Def: Knoten

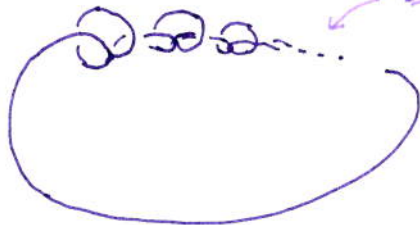
Ein Knoten ist eine einfache, geschlossene Kurve, also

$$k: [0, 1] \rightarrow \mathbb{R}^3 \text{ stetig}$$

$$k(0) = k(1) \quad (\text{geschlossen})$$

$$k(x) = k(y) \Rightarrow x = y \vee (x=0 \wedge y=1) \vee (x=1 \wedge y=0)$$

„wilder Knoten“:



unendlich ~~beständig~~ viele Schleifen

2. Def: Knoten

stetig differenzierbar

3. Sei (p_1, \dots, p_n) $p_i \in \mathbb{R}^3 \forall i \in \{1, \dots, n\}$,

dann heißt die Vereinigung von den Strecken

$$[p_1, p_2], [p_2, p_3], \dots, [p_{n-1}, p_n], [p_n, p_1]$$

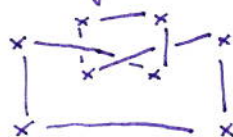
Polygonzug.

$$:= \{p_n + (p_1 - p_n)t, t \in [0, 1]\} \\ \text{geschlossener}$$

Ein Knoten ist ein einfacher geschlossener Polygonzug.



Unknoten



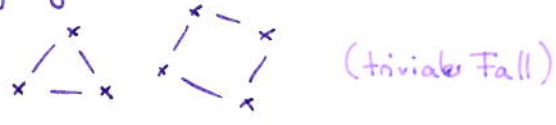
Kleeblatt

parametrischer Knoten

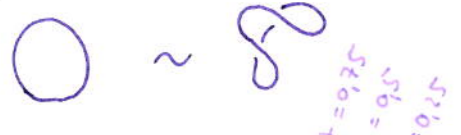
$$f: [0, 1] \rightarrow \mathbb{R}^3$$

$\begin{matrix} | & | & | & | \\ p_1 & p_2 & \dots & p_n \end{matrix}$

Def: Verschlingung



Äquivalenz



Def Homotopie



$(X, d_x), (Y, d_y)$ metrische Räume

$$f, g: X \rightarrow Y$$

$$h: X \times [0, 1] \rightarrow Y \text{ stetig} \quad \text{Homotopie}$$

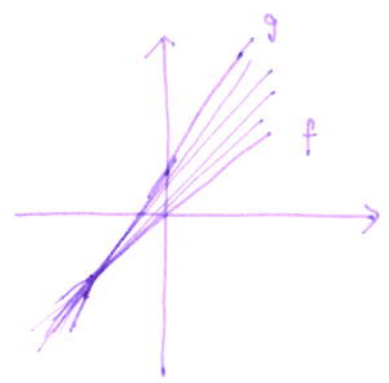
$$\text{mit } h(-, 0) = f \wedge h(-, 1) = g$$

$$f: \mathbb{R} \rightarrow \mathbb{R}, x \mapsto x$$

$$g: \mathbb{R} \rightarrow \mathbb{R}, x \mapsto 2x + 1$$

$$h: \mathbb{R} \times [0, 1] \rightarrow \mathbb{R}$$

$$(x, t) \mapsto (1+t)x + t$$



$$k, j: [0, 1] \rightarrow \mathbb{R}^3$$

$$k \sim j \Leftrightarrow \exists H: [0, 1] \times [0, 1] \rightarrow \mathbb{R}^3$$

mit $H(-, 0) = k$
 $H(-, 1) = j$
 $H(-, t)$ Knoten $\forall t \in [0, 1]$

} Homotopie

Reflexivität:

$$k \sim k$$

$$H: [0, 1] \times [0, 1] \rightarrow \mathbb{R}^3$$

$$(x, -) \mapsto k(x)$$

Symmetrie:

$$J \stackrel{H_{alt}}{\sim} K$$

$$K \stackrel{H_{rev}}{\sim} J$$

$$H_{rev}(x, t) := \text{Halt}(x, 1-t)$$

Transitivität:

$$K \stackrel{H_1}{\sim} J$$

$$J \stackrel{H_2}{\sim} L$$

$$H: [0, 1] \times [0, 1] \rightarrow \mathbb{R}$$

$$(x, t) \mapsto \begin{cases} H_1(x, 2t) & , 0 \leq t \leq 0,5 \\ H_2(x, 2t-1) & , 0,5 \leq t \leq 1 \end{cases}$$



t=0



t=0,3



t=0,8



t=1

wären jetzt äquivalent

$$K \sim J \Leftrightarrow \exists H: \mathbb{R}^3 \times [0, 1] \rightarrow \mathbb{R}^3$$

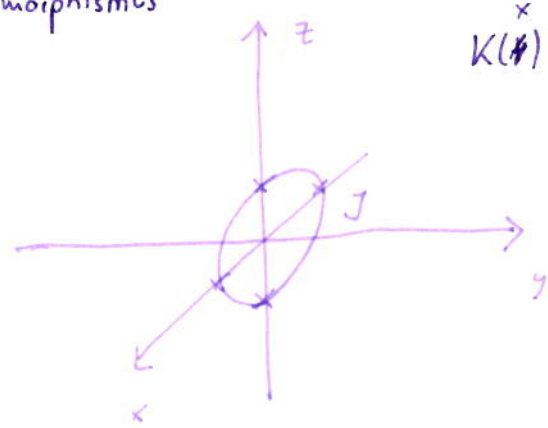
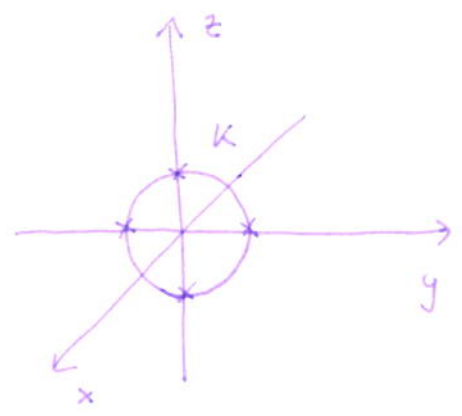
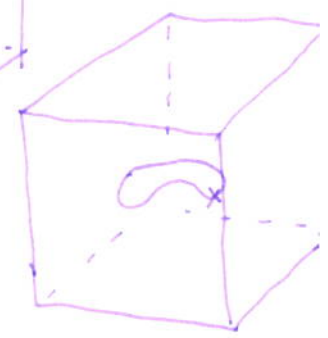
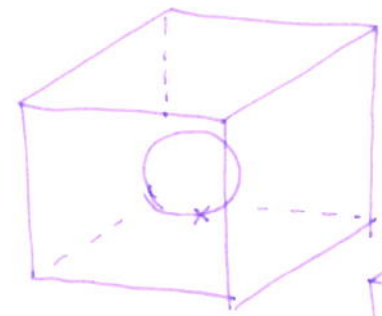
$$H(-, 0) = \text{id}$$

$$H(K(x), 1) = J(x) \quad \forall x \in [0, 1]$$

H(-, t) bij., stetig

und $H^{-1}(-, t)$ stetig

Homöomorphismus



$$K(\theta) := \begin{pmatrix} 0 & x \\ \cos(2\pi\theta) & \\ \sin(2\pi\theta) & \\ & x \end{pmatrix}$$

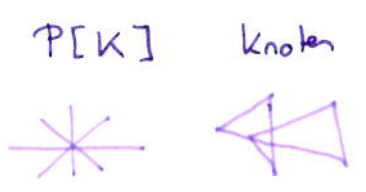
$$J(x) := \begin{pmatrix} \cos(2\pi x) \\ 0 \\ \sin(2\pi x) \end{pmatrix}$$

$$H\left(\begin{pmatrix} x \\ y \\ z \end{pmatrix}, t\right) := \begin{pmatrix} \cos\left(\frac{\pi}{2} + t\right) & \sin\left(\frac{\pi}{2} + t\right) & 0 \\ -\sin\left(\frac{\pi}{2} + t\right) & \cos\left(\frac{\pi}{2} + t\right) & 0 \\ 0 & 0 & 1 \end{pmatrix} \begin{pmatrix} x \\ y \\ z \end{pmatrix}$$

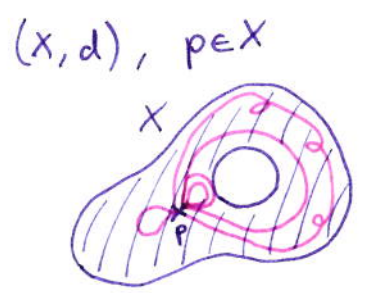
$$H(K(x), 1) = \begin{pmatrix} 0 & 1 & 0 \\ -1 & 0 & 0 \\ 0 & 0 & 1 \end{pmatrix} K(x) \stackrel{!}{=} J(x)$$

$$= \begin{pmatrix} \cos(2\pi x) \\ 0 \\ \sin(2\pi x) \end{pmatrix}$$

$$P: \mathbb{R}^3 \rightarrow \mathbb{R}^2 \quad \begin{pmatrix} x \\ y \\ z \end{pmatrix} \mapsto \begin{pmatrix} x \\ y \end{pmatrix}$$



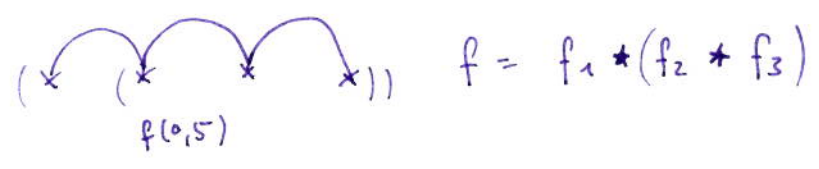
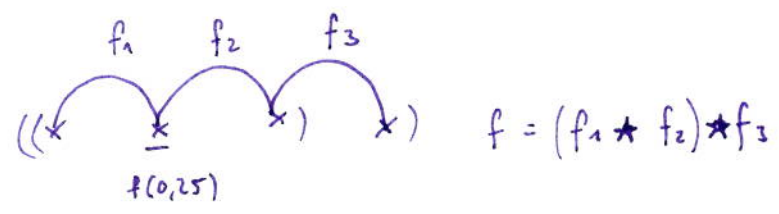
reguläre Position
 \rightarrow ^{je} nur 2 Punkte des Knotens haben das selbe Bild
 \rightarrow kein Eckpunkt darf auf einen Punkt abgebildet werden, auf den ein anderer Punkt abgebildet wurde



Sei $f, g: [0, 1] \rightarrow X$

$$(f \star g)(t) := \begin{cases} f(t) & , 0 \leq t \leq 0,5 \\ g(2t-1) & , 0,5 \leq t \leq 1 \end{cases}$$

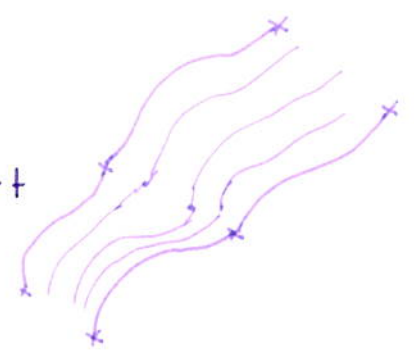
$$\Omega(X, p) = \{ \text{Kurven } k: [0, 1] \rightarrow X \text{ mit } k(0) = k(1) = p \}$$



$K \sim J \Leftrightarrow K$ homotop zu J mit festem Endpunkt

$$\Omega(X, p) / \sim =: \pi_1(X, p)$$

$\Leftrightarrow \exists H: [0, 1] \times [0, 1] \rightarrow X$ stetig
 mit $H(-, 0) = K$
 $H(-, 1) = J$
 $H(0, t) = H(1, t) = p \quad \forall t$



$$* : \pi_1(X, p) \times \pi_1(X, p) \rightarrow \pi_1(X, p),$$

$$([a], [b]) \mapsto [a \circ b]$$

Sei $a, a', b, b' \in \Omega(X, p)$ und gelte $a \sim_{H_1} a'$ und $b \sim_{H_2} b'$
 $a \circ b \sim_{H_3} a' \circ b'$

$$H_3: [0, 1] \times [0, 1] \rightarrow X, \quad H_3(-, t) := H_1(-, t) \star H_2(-, t)$$

Fundamentalgruppe

von \mathbb{R}^3

$$\pi_1(\mathbb{R}, 1) = \{0\}$$

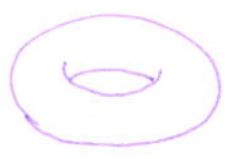
von $\mathbb{R}^3 \setminus \{0\}$

$$\pi_1(\mathbb{R}^3 \setminus \{0\}, 1) = \{0\}$$

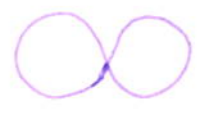
von $\mathbb{R}^2 \setminus \{0\}$

$$\pi_1(\mathbb{R}^2 \setminus \{0\}, 1) = \mathbb{Z}$$

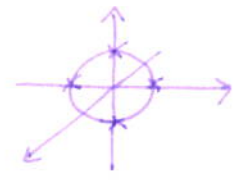
Beispiele



$$\mathbb{Z} \times \mathbb{Z}$$



$$\mathbb{Z} * \mathbb{Z}$$



$$\mathbb{Z}$$

Reue: π_1 ist ein Functor von der Kategorie der (punktierten) topologischen Räume in die Kategorie der Gruppen. Neben anderen Functoren (Homologie, Kohomologie, ...) bildet er eine fundamentale Verbindung zwischen Topologie und Algebra.

Wiederholung:

- Knoten: stetig diff. bare Einbettung
- Äquivalenz von Knoten: Homotopie
- Verschlingung: "Knoten mit mehreren Komponenten"

$$S^1 \rightarrow \mathbb{R}^3$$

$$h_+ : \mathbb{R}^3 \rightarrow \mathbb{R}^3$$

$$h_0 = \text{id}$$

$$h_+ | K_1 | = K_2$$



"Borromäische Ringe"

Frage: Wie kann man feststellen, ob zwei geg. Knoten äquivalent sind?

Reidemeister - Bewegungen



Satz: Zwei Knoten (Verschlingungen) sind genau dann äquivalent, wenn sie sich nur durch Reidemeister - Bew. unterscheiden.

Bem: $\bigcirc \underset{\text{I}}{\sim} \bigcirc \underset{\text{II}}{\sim} \cup \sim \cup$

$\underset{\text{III}}{\sim}$ $\underset{\text{II}}{\sim}$

Die Kauffman - Klammer

Idee: Ordne jedem Knotendiagramm ein Polynom zu, um dadurch die Knoten zu unterscheiden.

Def: Die Kauffman - Klammer ist eindeutige Abb.

$$\langle \cdot \rangle : \{ \text{nicht-orient. Diagramme} \} \rightarrow \mathbb{Z}[A, A^{-1}], \text{ mit}$$

(i) $\langle \bigcirc \rangle = 1$

(ii) $\langle D \cup \bigcirc \rangle = (-A^{-2} - A^2) \langle D \rangle$

(iii) $\langle \text{crossing} \rangle = A \langle \text{right crossing} \rangle + A^{-1} \langle \text{left crossing} \rangle$

Bsp: (Linkshändiger) Kleeblattknoten (2)

$$\langle \text{Kleeblattknoten} \rangle = A \cdot \langle \text{Knoten 1} \rangle + A^{-1} \langle \text{Knoten 2} \rangle = -A^4 - A^{-4}$$

$$\begin{aligned} \langle \text{Knoten 1} \rangle &= A \cdot \langle \text{Knoten 3} \rangle + A^{-1} \langle \text{Knoten 4} \rangle = -A^3 \langle \infty \rangle \\ &= (-A^{-2} - A^2) \cdot \langle \infty \rangle \\ &= (A \cdot \langle 0 \rangle + A^{-1} \langle \infty \rangle) + (-A^{-2} - A^2) \cdot \langle 0 \rangle \\ &= A^6 \end{aligned}$$

insg. $= A^7 - A^3 - A^{-5}$

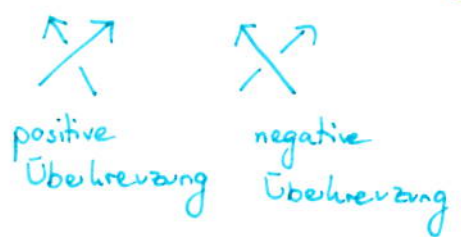
Invarianz unter Reidemeister-Bew:

Typ II: $\langle \text{Type II move} \rangle = A \langle \text{Type II move 1} \rangle + A^{-1} \langle \text{Type II move 2} \rangle$
 $= A (A \langle \text{Type II move 1} \rangle + A^{-1} \langle \text{Type II move 2} \rangle) + A^{-1} (A \langle \text{Type II move 1} \rangle + A^{-1} \langle \text{Type II move 2} \rangle)$
 $= \langle \text{Type II move 1} \rangle + \langle \text{Type II move 2} \rangle$

Typ III: $\langle \text{Type III move} \rangle = A^{-1} \langle \text{Type III move 1} \rangle + A \langle \text{Type III move 2} \rangle = \langle \text{Type III move 1} \rangle$
 $= \langle \text{Type III move 1} \rangle$
 $= \langle \text{Type III move 1} \rangle$

Typ I: $\langle \text{Type I move} \rangle = -A^3 \langle \text{Type I move 1} \rangle$
 $\langle \text{Type I move} \rangle = -A^3 \langle \text{Type I move 1} \rangle$

Idee: Zähle die Überkreuzungen im Diagramm mit



Def: $w(D) = \#(\text{pos. Ü.}) - \#(\text{neg. Ü.})$
 Verwindung

$\leadsto X(D) = (-A^3)^{-w(D)} \langle D \rangle$

ist invariant unter allen Reidemeister-Bew!

Def: Jones-Polynom : $V(D) := X(D)$ mit $A = t^{-1/4}$



$w(D) = -3$

$V(K_L) = (-A^3)^3 (A^7 - A^3 - A^{-5})$ $V(K_R) = -t^4 + t^3 + t$

$= -A^{16} + A^{12} + A^4$
 ~~$= -t^{-4} + t^{-3} + t^{-1}$~~
 $t = A^{-4}$

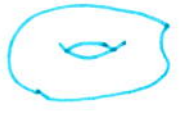
gespiegelt \swarrow
 A und A^{-1} vertauscht
bzw t und $t^{-1/4}$

allgemein: $\langle \overline{K} \rangle = \langle K \rangle$

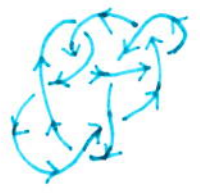
$K_L \neq K_R$

Offene Frage: Ist der Unknoten der einzige Knoten mit $V(K) = 1$

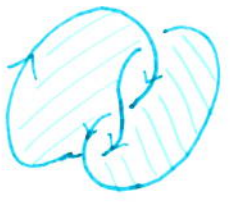
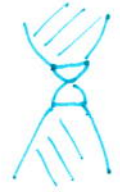
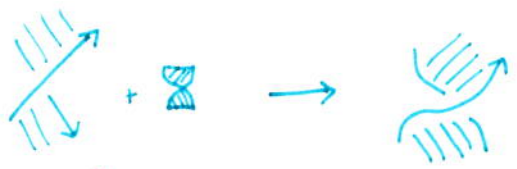
Seifert-Flächen



Seifert Algorithmus:



\leadsto disjunkte Kreise \leadsto auffüllen durch Scheiben



\leadsto



Wiederholung Fundamentalgruppe $\pi_1(X)$

Definition: $\pi_1(X, x_0) := \{ \text{Wege } \alpha: I \rightarrow X \mid \alpha(0) = \alpha(1) = x_0 \} / \sim$ Homotopie
 $\hookrightarrow x_0$ ist fester Basispunkt

mit festem Anfangs- und Endpunkt $x_0 \in \mathbb{R}$ heißt Fundamentalgruppe von X mit Basispunkt x_0 .

$$\alpha \sim \beta \iff \exists H: I \times I \rightarrow X \text{ stetig}$$

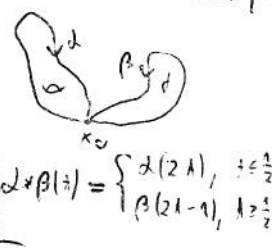
$$H(0, t) = \alpha$$

$$H(1, t) = \beta$$

~~Weg~~ $t \mapsto H(s, t)$ ist "geradlinige" Kurve mit $H(s, 0) = H(s, 1) = x_0$

Gruppenstruktur:
 $[\alpha] \cdot [\beta] := [\alpha * \beta]$

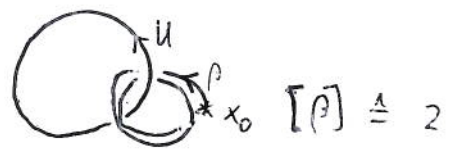
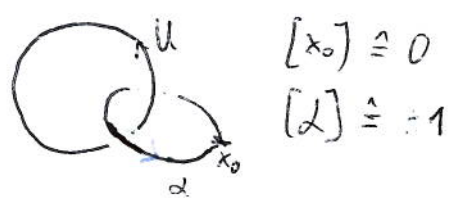
~~Weg~~ durchläuft erst α , dann β



Sei $U: S^1 \rightarrow \mathbb{R}^3$ Knoten

Definition der Knotengruppe: $\pi_1(\mathbb{R}^3 \setminus U)$ heißt Knotengruppe

Bsp.: $\pi_1(\mathbb{R}^3 \setminus U) \cong \mathbb{Z}$
 \uparrow
 Unknoten



Wie lässt sich die Knotengruppe eines komplizierteren Knoten berechnen?

Gruppendarstellungen mit Erzeugern und Relationen:

2

$G = \langle x_1, x_2, \dots, x_n \rangle$ freie Gruppe über n Erzeugern
 \hookrightarrow d.h. keine Relationen

$$= \left\{ e, x_1, \dots, x_n, x_1^{-1}, x_2^{-1}, \dots, x_n^{-1}, x_1 x_2, x_2 x_1, \dots \right\}$$

"Wörter aus x_1, \dots, x_n "

Relationen: ~~_____~~

$$G = \langle x_1, x_2, \dots, x_n \mid r_1, \dots, r_k \rangle$$

r_i : Polynom in x_1, \dots, x_n

$$= \left\{ e, x_1, \dots, x_n, x_1^{-1}, x_2^{-1}, \dots, x_n^{-1}, x_1 x_2, x_2 x_1, \dots \right\} / \sim$$

\swarrow
 $r_i = e$

z. B. $\langle x_1, x_2 \mid r_1 = x_1 x_2 \rangle = \langle x_1 \rangle \cong \mathbb{Z}$

\swarrow
 $x_1 x_2 = e$
 $x_2 = x_1^{-1}$

$$\langle x_1 \mid r_1 = x_1^k \rangle = \langle x_1 \mid x_1^k = e \rangle \cong \mathbb{Z} / k\mathbb{Z}$$

Freies Produkt von Gruppen:

$$G = \langle x_1, x_2, \dots \mid r_{x_1}, r_{x_2}, \dots \rangle$$

$$H = \langle y_1, y_2, \dots \mid r_{y_1}, r_{y_2}, \dots \rangle$$

$$\Rightarrow G * H = \langle x_1, x_2, \dots, y_1, y_2, \dots \mid r_{x_1}, r_{x_2}, \dots, r_{y_1}, r_{y_2}, \dots \rangle$$

Die Wirtinger - Darstellung:

Algorithmus zur Berechnung der Knotengruppe

- Wähle reguläre Projektion von K (wie in Bsp.) auf (x, y) -Ebene
- Für jeden Bogen j , wähle Erzeuger a_j von $\pi_1(\mathbb{R}^3 \setminus K)$



- für jede Kreuzung v gibt es eine Relation R_v gemäß



$$R_v = a_j^{-1} a_k a_i a_k^{-1}$$

$$Id. \quad a_i = a_i a_j a_j^{-1}$$



$$R_v = a_i a_j^{-1} a_k a_j$$

$$a_j = a_j a_i a_i^{-1}$$

- Die Knotengruppe von K ist gegeben durch

$$\pi_1(\mathbb{R}^3 \setminus K) = \langle a_j, j \text{ Bogen} \mid R_v, v \text{ Kreuzung} \rangle$$

Beispiel: $\pi_1(\mathbb{R}^3 \setminus U) = \langle a \rangle = \mathbb{Z}$

$$\pi_1(\mathbb{R}^3 \setminus LK) = \langle a, b, c \mid R_{v_1}, R_{v_2}, R_{v_3} \rangle$$

$$= \langle a, b, c \mid \begin{array}{l} c = a b a^{-1} \\ b = c a c^{-1} \\ a = b c b^{-1} \end{array} \rangle$$

$$= \langle a, b \mid \begin{array}{l} (i) b = (a b a^{-1}) a (a b a^{-1})^{-1} = a b a l^{-1} a^{-1} \\ (ii) a = b (a b a^{-1}) b^{-1} \end{array} \rangle$$

$$\Leftrightarrow b a b a^{-1} b^{-1} a^{-1} = e$$

$$\stackrel{(i)}{\Leftrightarrow} a b a b^{-1} a^{-1} b^{-1} = e \Leftrightarrow (i)$$

$$= \langle a, b \mid a b a b^{-1} a^{-1} b^{-1} = e \rangle$$



$$R_{v_1} = c^{-1} a b c$$

$$R_{v_2} = b^{-1} a c b$$

$$R_{v_3} = a^{-1} b c a$$

Seifert-van-Kampen (ohne Beweis)

↳ ist wichtiger Satz über Fundamentalgruppen
wird zum Beweis der Wirtinger-Darstellung benötigt

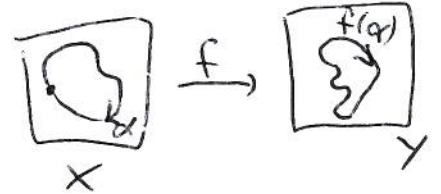
X top. Raum = $\bigcup_{\alpha \in A} U_\alpha$ und Basispunkt $x_0 \in \bigcap_{\alpha} U_\alpha$
offen

~~Inklusions-Abb.:~~



N

$f : X \rightarrow Y$ stetig
↑ ↑
top. Räume



induziert Abb.

$$f_* : \pi_1(X) \rightarrow \pi_1(Y)$$

$$[\alpha] \mapsto [f \circ \alpha]$$

$$N \subset \ast_{\alpha} \pi_1(U_\alpha) \xrightarrow{\Phi := \ast_{\alpha} i_{\alpha}} \pi_1(X)$$

normale Untergruppe erzeugt von $i_{\alpha\beta}(c) i_{\beta\alpha}(c)^{-1}, \alpha \neq \beta$
 $c \in \pi_1(U_\alpha \cap U_\beta)$

Satz: $U_\alpha, U_\alpha \cap U_\beta, U_\alpha \cap U_\beta \cap U_\gamma$ wegzshgd. $\forall \alpha, \beta, \gamma$

$\Rightarrow \Phi$ ist surjektiv und $\ker \Phi = N$,
d.h. Φ induziert einen Isom.

$$\ast_{\alpha} \pi_1(U_\alpha) / N \xrightarrow{\cong} \pi_1(X)$$

Beweis der Wirtinger-Darstellung:

(5)

- Projektion eines Knoten K auf die Ebene derart, dass es höchstens Doppelpunkte (als Kreuzungen) gibt. Im Fall eines Doppelpunktes muss angegeben werden, welcher ^{Bogen} ~~Zweig~~ von K dabei oben ist (reguläre Projektion)

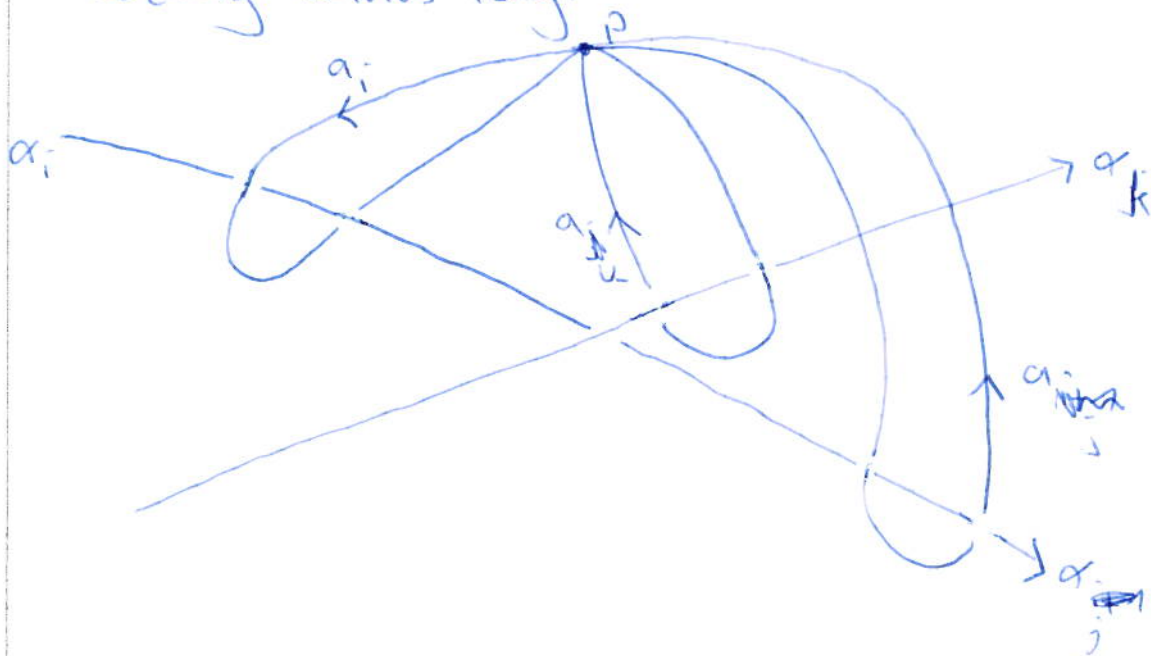


- $\pi_1(\mathbb{R}^3 \setminus K)$ ist gegeben durch Schleifen α_i , durch diese Knotenbögen

Folglich hat man genau so viele Erzeuger wie es Kreuzungen gibt. Wir wählen eine Orientierung für den Knoten K und orientieren dann nach der Rechte-Hand-Regel die Erzeuger α_i um die Bögen α_i



Es ist auch sinnvoll die Indizierung so anzudeuten, dass dem unteren Bogen α_i in eine Kreuzung hinein der Bogen α_j aus der Kreuzung hinaus folgt



Beweis des Algorithmus (benötigt braucht den Satz von Seifert-van-Kampen):

Wir können annehmen, dass jeder Bogen α_i des Knotens K in der Ebene $z=1$ liegt, abgesehen von einem vertikalen Teilstück an jedem Bogenende (auf Höhe der Kreuzungen), welche nach $z=0$ heruntergeht. Der Endpunkt von α_i kann dann mit dem Anfangspunkt von α_j durch das Bogenstück β_{ij} in der Ebene $z=0$ verbunden werden, das unter dem Bogen α_j oberem Bogen der Kreuzung α_j verläuft. Wir nehmen dann das Komplement $\mathbb{R}^3 \setminus K$ wobei N ~~nimmt~~ ^{definiert} ~~nimmt~~ ^{definiert} N ~~nimmt~~ ^{definiert} N , die Umgebung des Knotens K .

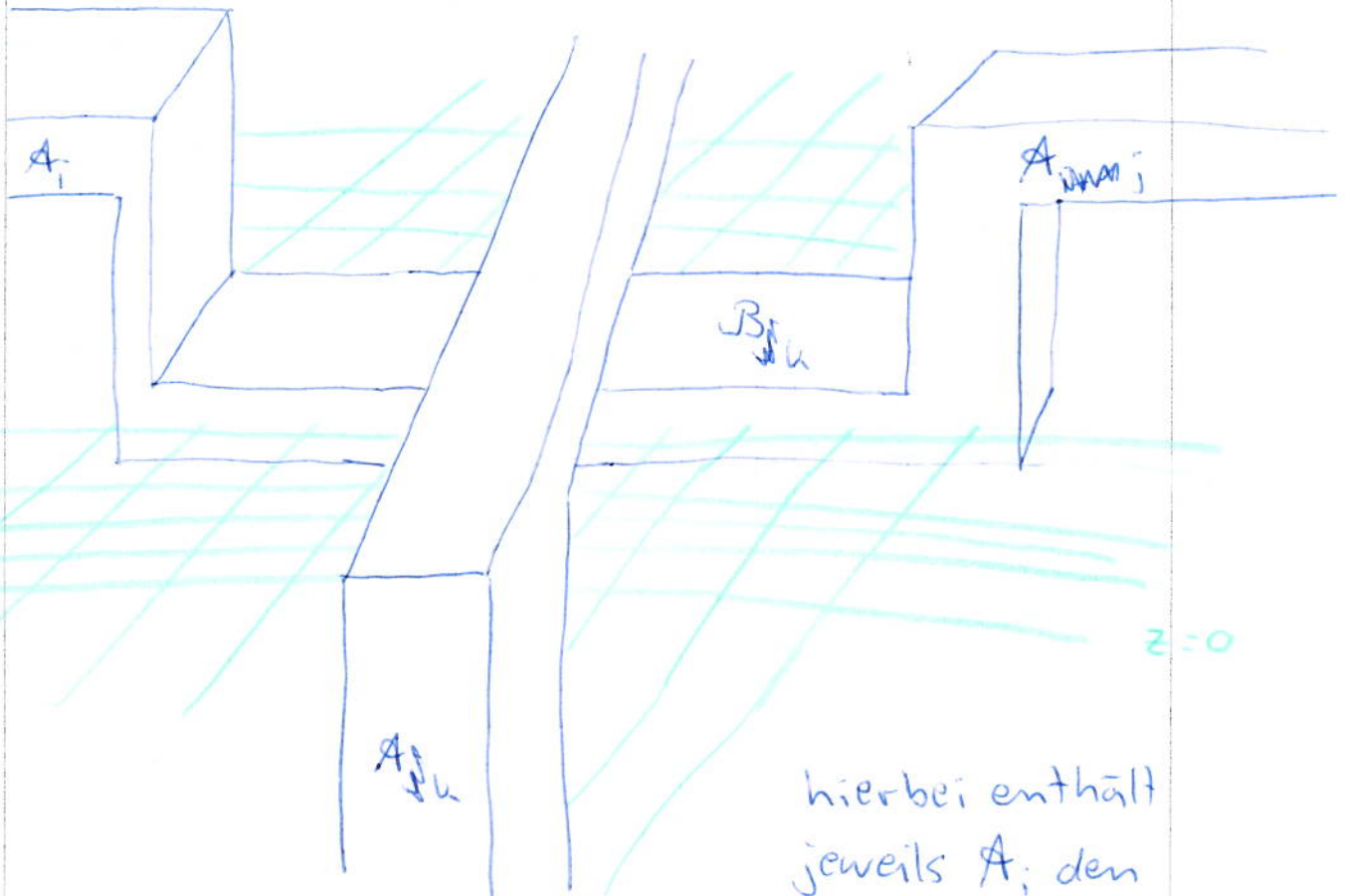
Knotens K

Man definiert nun N , eine Quader-Umgebung des Knotens K mit Seitenlänge ϵ , deren Mittelpunkt auf K liegt und wobei ϵ klein genug ist um sicherzustellen, dass $\mathbb{R}^3 \setminus N$ ein Deformationsretrakt von $\mathbb{R}^3 \setminus K$ ist, d.h.

Deformationsretrakt ist Spezialfall von Homotopieäquivalenz

X, Y homot. - äquiv.
 $\Leftrightarrow \exists f: X \rightarrow Y$ stetig
 $g: Y \rightarrow X$ "

s.d. $f \circ g \sim id_Y$
 $g \circ f \sim id_X$
↑
homotop



hierbei enthält
jeweils A_i den
Knotenbogen α_i

- Man definiert $A = \{z > 0\} \setminus N$

Nun umkreisen $\alpha_1, \dots, \alpha_n$ den verdickten
Knotenbogen, wobei α_1 die Schleife ist,
die um den Tunnel A_i verläuft

- Man definiert $B = \{z < \frac{\epsilon}{2}\} \setminus N$ ist ein
offener Halbraum mit „Gräben“ an den Stellen
der B_j -Tunnel. B ist einfach zusammen-
hängend, d.h. $\pi_1(B) = \{1\}$

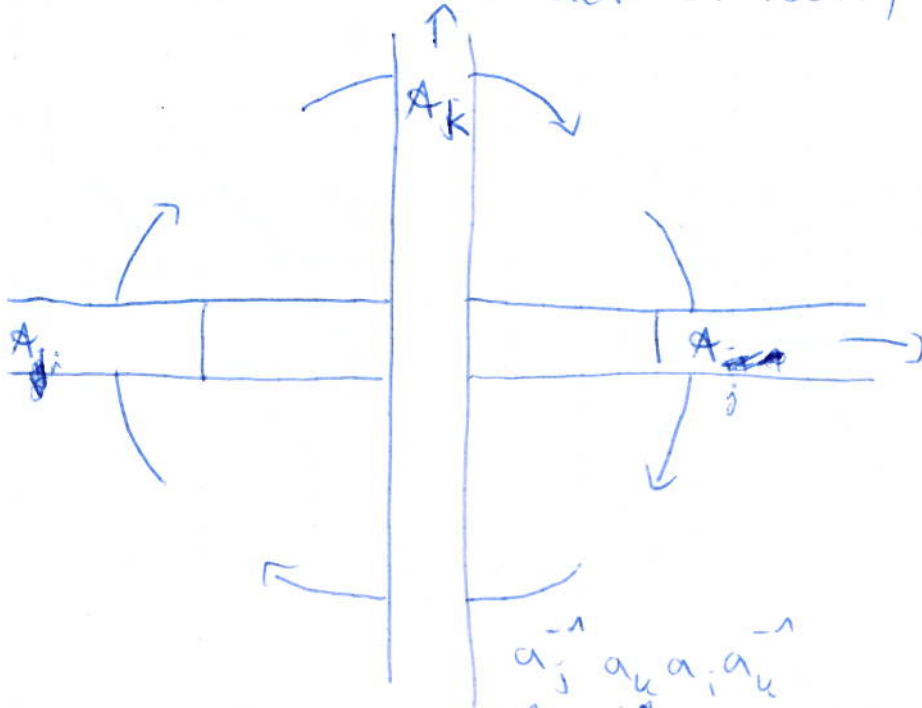
Legt man Schleifen in B , so können diese
stets an den Gräben „verbeigezogen“ werden
und sind damit nullhomotop.

- $A \cap B = \{0 < z < \frac{\epsilon}{2}\} \setminus N$ ist eine unendliche
verdickte Ebene mit n Löchern an den
Stellen der B_j -Gräben (die obere Hälfte der

Gräben)

Daher gilt $\pi_1(A \cap B) =$ freie Gruppe mit n Erzeugern

Der typische Erzeuger von $\pi_1(A \cap B)_k$ ist ein Kreis um einen der Gräben,



hat also die Form $a_j^{-1} a_k a_i a_k^{-1}$ in $\pi_1(A)$ oder $a_j^{-1} a_k a_i a_k^{-1}$ im Fall der zweiten Art der Kreuzung von vorher und 1 bei $\pi_1(B)$. Mit dem Satz von Seifert-van-Kampen erhält man dann die Wirtinger-Darstellung für

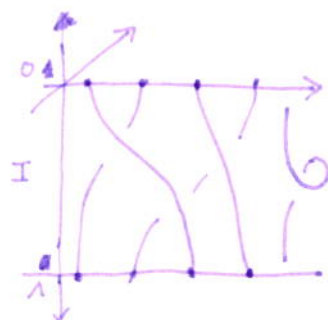
$$\pi_1(A \cup B) = \pi_1(\mathbb{R}^3 \setminus N) = \pi_1(\mathbb{R}^3 \setminus U)$$

Gruppenstruktur auf Knoten? Nein.

18.10.2013

(1)

$L \#$



Def: Ein geometrischer Zopf auf $n \geq 1$ Strängen ist eine Teilmenge $b \subset \mathbb{R}^2 \times I$

mit $b = \coprod_{i=1}^n I_i$, I_i homöomorph zu Intervall I s.d.

(1) $\mathbb{R}^2 \times I \rightarrow I$ gibt Homöo. $I_i \xrightarrow{\cong} I$

(2) $b \cap (\mathbb{R}^2 \times \{0\}) = \{(1,0,0), (2,0,0), \dots, (n,0,0)\}$

$b \cap (\mathbb{R}^2 \times \{1\}) = \{(1,0,1), \dots, (n,0,1)\}$

Def: b, b' Zöpfe, $b \sim b' \Leftrightarrow \exists F: b \times I \rightarrow \mathbb{R}^2 \times I$ stetig s.d. $\forall s \in I$

◦ $F_s: b \rightarrow \mathbb{R}^2 \times I$ ist Einbettung

◦ $F_s(b)$ ist ein geometrischer Zopf auf n Strängen

◦ $F_0 = \text{id}_b$, $F_1(b) = b'$

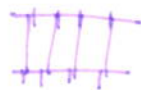
Bem: \sim ist Äquivalenzrelation $\Rightarrow B_n := \{\text{geom. Zöpfe auf } n \text{ Strängen}\} / \sim$

Multiplikation: b_1, b_2 Zöpfe auf n Strängen

$b_1 b_2 = \{(x,y,t) \in \mathbb{R}^2 \times I \mid (x,y,2t) \in b_1 \text{ für } 0 \leq t \leq \frac{1}{2} \text{ und}$

$(x,x,2t-1) \in b_2 \text{ für } \frac{1}{2} \leq t \leq 1\}$

\Rightarrow Multiplikation auf B_n , assoziativ, neutrales Element: 1_n

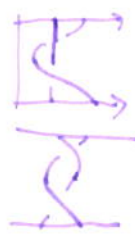
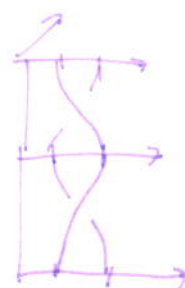
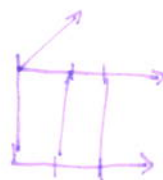


Verallgemeinerung: $\Sigma^n \setminus \Delta$

fette Diagonale (x_1, \dots, x_n) s.d. $x_i = x_j$ für min. ein (i,j) , $i \neq j$

\rightarrow Zopfgruppen $\sim \pi_1(\Sigma^n \setminus \Delta, p)$

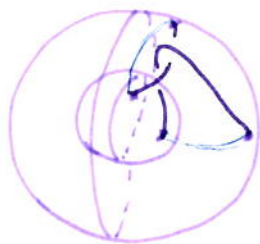
$B_2 \cong \mathbb{Z}$



$$B_3 \cong \langle A, B \mid ABA = BAB \rangle$$

(2)

$$S^2 \times I$$



$$\pi_1((S^2)^n \setminus \Delta) \cong 1$$

Zopfdiagramme:

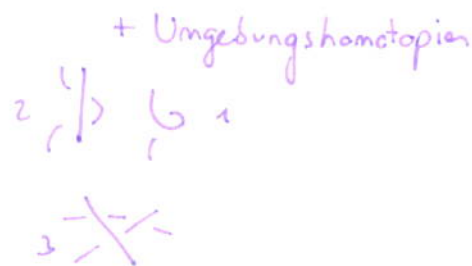
$\mathbb{R}^2 \times I$	(x, y, t)	b
↓	↓	↓
$\mathbb{R} \times I$	(x, t)	$D(b)$

nach kleiner Isotopie
sind diese regulär
max. Doppelpunkte
und diese sind
transversal

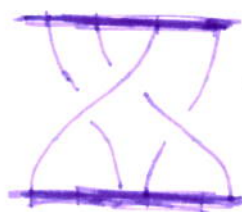
Def: D, D' Zopfdiagramme $D \sim D' \Leftrightarrow \exists F: D \times I \rightarrow \mathbb{R}^2 \times I$ stetig s.d. $t \in I$
 $\circ F_s: D \rightarrow \mathbb{R} \times I$ ist Einbettung
 $\circ F_s(D)$ ist ein geom. Zopfdiagramm auf n Strängen
 $\circ \#_4 D_0 = D, D_1 = D'$ + Bed. an die Kreuzungen

Satz: b_1, b_2 Zöpfe $b_1 \sim b_2 \Leftrightarrow D(b_1) \sim D(b_2) \Leftrightarrow D(b_1)$ und $D(b_2)$
unterscheiden sich nur durch
Reidemeister II und III

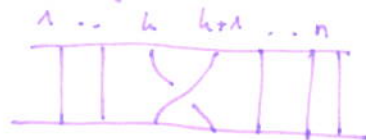
Lemma: $B_n \cong \langle b_1, \dots, b_{n-1} \mid \text{Zopfrelation} \rangle$
 !!
 Artin Zopfgruppe
 (siehe Beweis)



Bew: $[b] \in B_n \rightsquigarrow D(b)$
reg.



alle Segmente haben Form



$\sim D(b_k^+)$
 $\rightsquigarrow D(b_k^-)$

$$\Rightarrow b = b_{i_1}^{\varepsilon_1} b_{i_2}^{\varepsilon_2} \dots b_{i_k}^{\varepsilon_k}$$

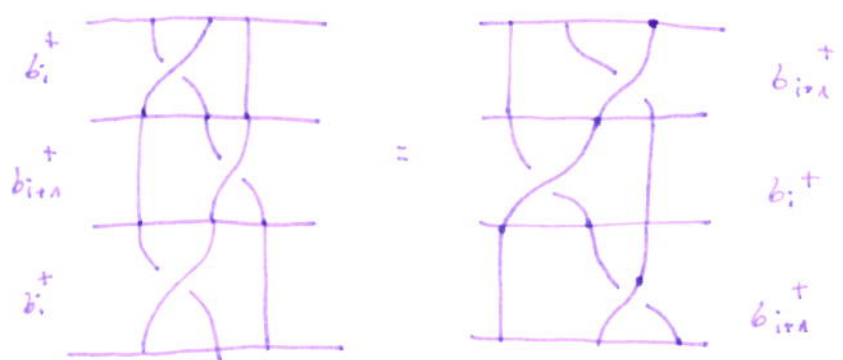
$$1. b_i^+ b_i^- = \text{diagram} = 1_n = b_i^- b_i^+$$

$$\rightsquigarrow b^{-1} = b_{i_1}^{-\varepsilon_1} b_{i_{k-1}}^{-\varepsilon_{k-1}} \dots b_{i_k}^{-\varepsilon_k} \rightsquigarrow B_n \text{ Gruppe}$$

2. $b_1^+, \dots, b_{n-1}^+ \in B_n$ erfüllen Zopfrelationen

$$\begin{cases} b_i^+ b_j^+ = b_j^+ b_i^+ & ij = 1, \dots, n-1 \quad |i-j| \geq 2 \\ b_i^+ b_{i+1}^+ b_i^+ = b_{i+1}^+ b_i^+ b_{i+1}^+ \end{cases}$$

↔ nicht benachbart



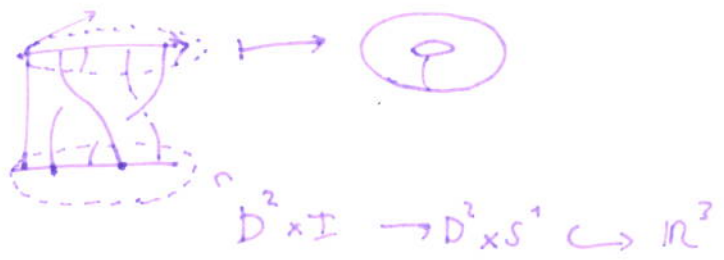
3. Schritt: $\varphi^+: B_n \rightarrow B_n$

$b_i \mapsto b_i^+$

$B_n = \langle b_1, \dots, b_{n-1} \mid \text{Zopfrel.} \rangle$

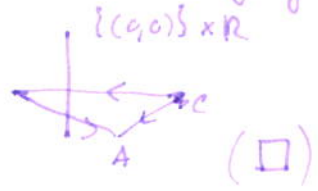
- Gruppenhomo
- surjektiv
- injektiv □

Zöpfe → Verschlingung in \mathbb{R}^3



Satz von Alexander: Jede Verschlingung ist isotop zu geschl. Zopf

Bew: ~> polynomial

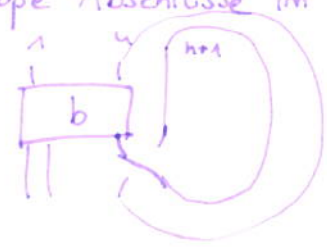


Satz (Markov): 2 Zöpfe haben isotopie Abschlüsse im \mathbb{R}^3

Sie unterscheiden sich durch Umgeb. hom.

M_1 : Konjugation mit Zopf

$M_2: b \in B_n \rightarrow b_n(b)$



+ Markov züge M_1 u. M_2